

# PI Controller Optimization for Fast Orbit Feedback System of Storage Ring with Desired Performance and Robustness

黄玺洋

高能物理研究所

2022.08.19

# 目录

- ① 简要介绍快轨道反馈（FOFB）系统及其稳定性判据。
- ② 给出一种通用的，数学的方法优化 FOFB 反馈控制器参数。

# FOFB loop

为了满足光源非常高的稳定性要求（亚微米量级），需要 FOFB 系统（执行频率 kHz 量级）。FOFB 系统根据储存环上 BPM 测得的束流位置信息，在控制器中计算得到各个快速校正子需要设置的电流强度，通过快校正子电源实现快校正子的快速响应，进行对轨道扰动的快速反馈。

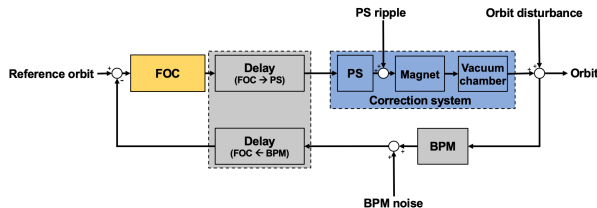


图: Feedback loop

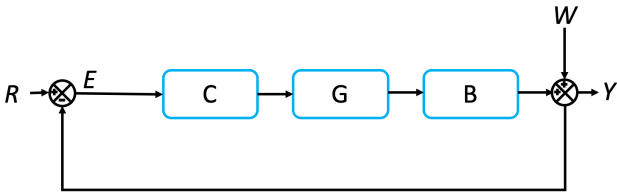


图: Feedback loop

$$C(s) = k_p + k_i/s, G(s) = \frac{k}{s+a}, G_d(s) = e^{-sL}, B(s) = \frac{1}{N} \frac{1 - e^{-sNT}}{1 - e^{-sT}}.$$

C 代表控制器，G 代表校正系统，B 代表 BPM。L 为系统延时，延时模块在上图中并未画出（包含了数据打包和传输，PI 控制器的计算延迟，PSC 的延迟）。

$$\mathcal{S}(s) = \frac{1}{1 + G(s)C(s)B(s)G_d(s)}.$$

S 代表了一个系统的性能。

# 稳定性判据

闭环特征方程:

$$D(s) = (s^2 + as)e^{sL}(1 - e^{-sT}) + (kk_p s + kk_i)(1 - e^{-sNT})/N.$$

令  $s = j\omega$  代入上式并且两边同时乘以  $e^{j\omega NT/2}/2j$  并假设  
 $D(j\omega) = D_r(\omega) + jD_i(\omega)$ , 那么

$$D_r(\omega) = -\omega^2 \cos(\tau\omega) \sin\left(\frac{T\omega}{2}\right) - a\omega \sin\left(\frac{T\omega}{2}\right) \sin(\tau\omega) + \frac{kk_i \sin\left(\frac{NT\omega}{2}\right)}{N},$$

$$D_i(\omega) = a\omega \cos(\tau\omega) \sin\left(\frac{T\omega}{2}\right) - \omega^2 \sin\left(\frac{T\omega}{2}\right) \sin(\tau\omega) + \frac{kk_p \omega \sin\left(\frac{NT\omega}{2}\right)}{N}.$$

其中  $\tau = L + (N - 1)T/2$ 。

考虑在  $(k_p, k_i)$  平面有这么一个点  $(k_p^0, k_i^0, \omega)$  使得  $D_r, D_i$  都为 0。, 定义 J 为:

$$\mathbf{J} = \begin{bmatrix} \frac{\partial D_r(\omega)}{\partial k_p} & \frac{\partial D_r(\omega)}{\partial k_i} \\ \frac{\partial D_i(\omega)}{\partial k_p} & \frac{\partial D_i(\omega)}{\partial k_i} \end{bmatrix}_{(k_p^0, k_i^0, \omega)}$$

如果  $\det \mathbf{J}$  非 0, 根据隐函数定理<sup>1</sup>, 上式中的  $D_r, D_i$  有唯一的  $(k_p, k_i, \omega)$  的解曲线。并且随着  $\omega$  增加, 如果  $\det \mathbf{J} < 0$ , 边界右边的参数对应了稳定区; 反之如果  $\det \mathbf{J} < 0$ , 边界左边的参数对应了稳定区。对于任意  $\omega > 0$ ,  $\det \mathbf{J} = -k^2 \omega \sin^2(NT\omega/2)/N^2 < 0$  恒成立, 这意味着满足稳定性要求的  $(k_p, k_i)$  都在边界曲线右边。稳定性边界可以通过令  $D_r = 0$  和  $D_i = 0$  求得:

$$k_p = -\frac{N \csc(\frac{NT\omega}{2}) \sin(\frac{T\omega}{2})}{k} (a \cos(\tau\omega) - \omega \sin(\tau\omega)),$$

$$k_i = \frac{N \csc(\frac{NT\omega}{2}) \sin(\frac{T\omega}{2})}{k} (\omega^2 \cos(\tau\omega) + a\omega \sin(\tau\omega)).$$

此时, 我们仅仅知道如何使系统稳定, 但是对系统的性能和稳定裕度都不清楚……

<sup>1</sup><https://mathworld.wolfram.com/ImplicitFunctionTheorem.html>

GM 和 PM 是衡量两个指标，分别是  $180^\circ$  相移下的增益和单位增益下的相移，可以告诉我们系统与振荡的接近程度。系统的 PM 即为  $180^\circ$  减去单位增益下的实际相移，GM 即为将 1 除以  $180^\circ$  相移时的增益。系统的响应时间也是一个很重要的指标，代表了反馈系统的性能。

如何去调参数？通常来说有两种方法：1，手动调参；2，matlab 中的“PID tuner” toolbox 来调节。这两种方法都需要依靠经验，且并无系统性或者普适性。

如何去调参数？通常来说有两种方法：1，手动调参；2，matlab 中的“PID tuner” toolbox 来调节。这两种方法都需要依靠经验，且并无系统性或者普适性。

利用增益-相位裕度测试因子（GPMT）和极点配置方法，只要给定想要的系统响应，就可以直接求得我们所需的 PI 参数。

# FOFB loop

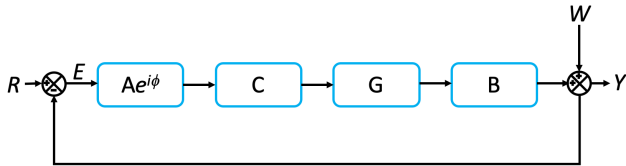


图: Feedback loop

$$S(s) = \frac{1}{1 + Ae^{-j\phi} G(s) C(s) B(s) G_d(s)}.$$

$Ae^{j\phi}$  是 GPMT 环节<sup>2,3,4</sup>，并不真实存在于反馈回路里面，只是为了辅助计算增益裕度 (GM) 和相位裕度 (PM)。

<sup>2</sup>S.Srivastava, J. of Process Control 37 (2016) 70–77.

<sup>3</sup>N.Tan, ISA Transcations 44 (2005) 213-223.

<sup>4</sup>D.J.Wang, J. Process Control 22(2012) 1298-1306.

# 保证 GM 和 PM 的 PI 参数

在开环环节中前置增加一项  $Ae^{-j\phi}$  (GPMT) 可以求得  $(k_p, k_i)$  平面上的 GM 和 PM 边界。当  $A = 1$  时,  $\phi$  给出  $(k_p, k_i)$  平面上的 PM 边界, 当  $\phi = 0$  时,  $A$  给出  $(k_p, k_i)$  平面上的 GM 边界。加上了 GPMT 环节后的闭环特征方程可以写为:

$$F(s) = (s^2 + as)e^{sL}(1 - e^{-sT})e^{j\phi} + A(kk_ps + kk_i)(1 - e^{-sNT})/N.$$

如同之前的步骤, 可以求得

$$k_p = -\frac{N \csc(\frac{NT\omega}{2}) \sin(\frac{T\omega}{2})}{Ak} (a \cos(\tau\omega + \phi) - \omega \sin(\tau\omega + \phi)),$$

$$k_i = \frac{N \csc(\frac{NT\omega}{2}) \sin(\frac{T\omega}{2})}{Ak} (\omega^2 \cos(\tau\omega + \phi) + a\omega \sin(\tau\omega + \phi)).$$

而  $\det J = -A^2 k^2 \omega \sin^2(NT\omega/2)/N^2 < 0$  对于任意  $\omega > 0$  恒成立, 说明求得的裕度边界曲线的右侧是满足我们需要的控制器参数。

# 保证极点配置的 PI 参数

如果考虑闭环时间响应，我们就需要考虑极点配置的问题。此时假设闭环传递函数阻尼比为  $\zeta$ ，无阻尼固有频率为  $\omega_{cl}$ 。那么我们配置的极点为  $s = \sigma \pm j\omega = -\zeta\omega_{cl} \pm j\omega_{cl}\sqrt{1 - \zeta^2}$ 。如果这样的极点存在，那么必定是的  $D(s) = 0$  解，将  $s = \sigma + j\omega$  代入可得：

$$H(\sigma + j\omega) = e^{\tau(j\omega + \sigma)}(a(j\omega + \sigma) + (j\omega)^2) + ((j\omega + \sigma)kk_p + kk_i) \sin\left(\frac{NT\omega}{2}\right)/N.$$

令  $H_r = 0, H_i = 0$ ，那么我们可以得到配置了极点的  $(k_p, k_i)$ ：

$$k_p = -\frac{Ne^{\sigma\tau} \csc\left(\frac{NT\omega}{2}\right) \sin\left(\frac{T\omega}{2}\right)}{k\omega} (\chi_2 \cos(\omega\tau) + \chi_1 \sin(\omega\tau)),$$

$$k_i = \frac{Ne^{\sigma\tau} \csc\left(\frac{NT\omega}{2}\right) \sin\left(\frac{T\omega}{2}\right)}{k\omega} ((\chi_2\sigma - \chi_1\omega) \cos(\omega\tau) + (\chi_2\omega + \chi_1\sigma) \sin(\omega\tau))$$

其中  $\chi_1 = \sigma^2 + a\sigma - \omega^2$ ,  $\chi_2 = a\omega + 2\sigma\omega$ 。通过对  $\zeta$  和  $\omega_{cl}$  的选择，我们可以得到满足闭环响应时间的控制器参数。

# 阻尼比和无阻尼自然频率

复数极点  $s = \sigma \pm j\omega = -\zeta\omega_{cl} \pm j\omega_{cl}\sqrt{1 - \zeta^2}$ , 在  $s$  平面上, 该极点位于半径  $\omega_{cl}$ 、角速度  $\theta = \arcsin \zeta$  处。系统的脉冲响应可以写成:

$h(t) = \frac{\omega_{cl}}{\sqrt{1-\zeta^2}} e^{-\sigma t} \sin \omega t$ 。当  $\zeta = 0$  时, 系统无阻尼 (系统会振荡); 当  $\zeta$  接近 1 时, 系统响应无振荡。

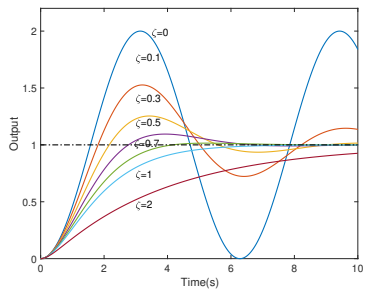


图: 阻尼比与二阶系统阶跃响应

# Scan PI parameters

给定一套参数:  $N = 10, a = k = 31400, L = 80\mu s, T = 4.5\mu s.$

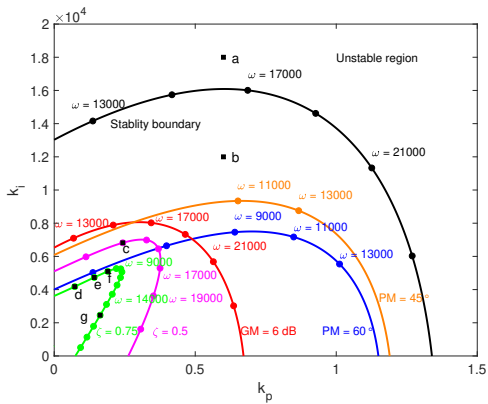


图: PI parameters under different conditions

# Scan PI parameters

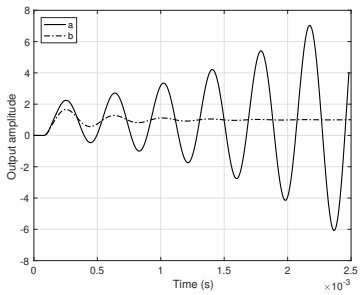
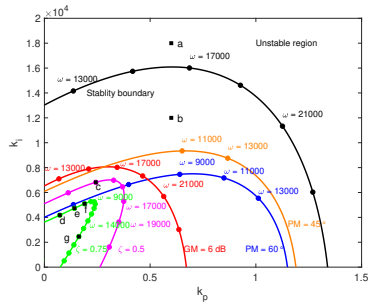


图: Step response of a, b

# Scan PI parameters

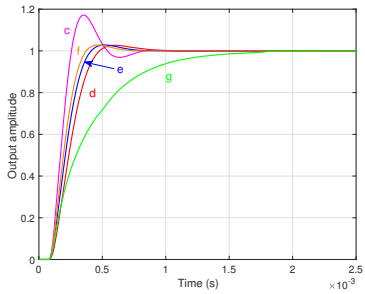
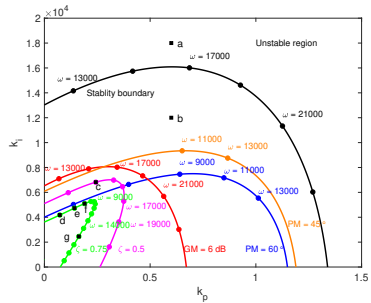


图: c,d,e,f,g 的对应的系统的阶跃响应

# Scan PI parameters

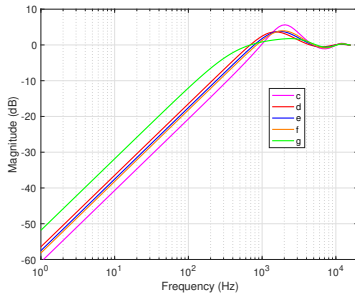
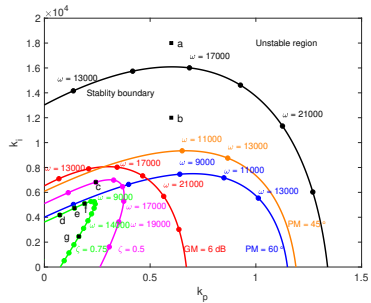


图: c,d,e,f,g 的对应的系统对噪声抑制的能力

表: 不同 PI 参数对应的 FOFB 闭环时间响应和噪声抑制带宽

Points	$(k_p, k_i)$	$\zeta$	GM	PM	OS	$t_r$	$t_s$	$f_c$	$G_{DC}$
c	(0.24, 6800)	0.5	7.4 dB	52°	17.2%	0.12 ms	0.72 ms	1070 Hz	-61 dB
d	(0.72, 4178)	0.75	11.1 dB	63°	2.7%	0.25 ms	0.70 ms	690 Hz	-56 dB
e	(0.14, 4731)	0.75	10.5 dB	62°	2.9%	0.21 ms	0.61 ms	780 Hz	-57 dB
f	(0.19, 5096)	0.75	10 dB	62°	2.8%	0.19 ms	0.55 ms	840 Hz	-58 dB
g	(0.16, 2455)	0.75	15 dB	81°	0	0.72 ms	1.4 ms	690 Hz	-51 dB

# 总结

- ① 针对如何优化 FOFB 控制器参数，给出了一种通用的方法。
- ② 此方法通过对闭环传递函数分析，可以得到  $(k_p, k_i)$  平面上的稳定性边界，满足条件的 PM 和 GM 边界，以及指定极点的 PI 参数曲线。
- ③ 此方法通过对闭环时间响应和带宽的分析，可以得到我们需要的 PI 参数。通常来说，我们在需要的 GM 和 PM 的重叠区域里选择合适的  $\zeta$ ，并取  $k_p(\omega)$  和  $k_i(\omega)$  单调增的点。

# Backup slides

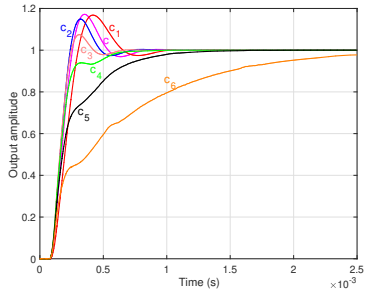
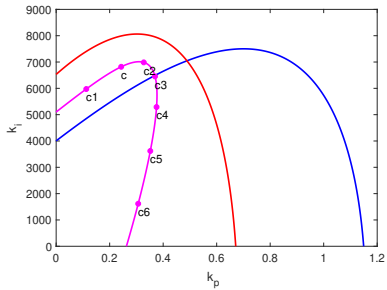


图: Step response of  $\zeta = 0.5$

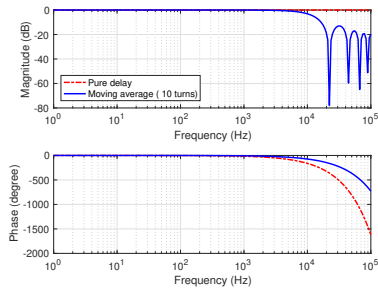
# BPM transfer function

$$B(z) = \frac{1 + z^{-1} + z^{-2} + \cdots + z^{-N+1}}{N} = \frac{1}{N} \frac{1 - z^{-N}}{1 - z^{-1}}.$$

将  $z = e^{sT}$  代入可以得到：(  $T$  为回旋频率， $N$  为 FA 数据的平均圈数)

$$B(s) = \frac{1}{N} \frac{1 - e^{-sNT}}{1 - e^{-sT}}.$$

将 FA 数据的模拟带宽  $f_{cutoff}$  定义为幅值下降到-3dB， $f_{cutoff} \approx 9.8\text{kHz}$ 。



# FOFB Bandwidth

